

# Webapp en Shiny para modelos de regresión con polinomios fraccionarios de orden 1

Antonio Torres Ruiz  
Isabel María Ortiz Rodríguez

Universidad de Almería

IX JORNADAS DE USUARIOS DE R  
Granada, Noviembre de 2017

# Índice

- 1 Polinomios fraccionarios
- 2 Modelos de regresión con polinomios fraccionarios de orden 1
- 3 Elección del mejor modelo fraccionario de orden 1
- 4 Webapp en Shiny para modelos fraccionarios de orden 1
- 5 Ejemplo: Relación de Longitud de la mandíbula con Edad gestacional
- 6 El paquete `mfp` de R
- 7 Conclusiones

# Índice

- 1 Polinomios fraccionarios
- 2 Modelos de regresión con polinomios fraccionarios de orden 1
- 3 Elección del mejor modelo fraccionario de orden 1
- 4 Webapp en Shiny para modelos fraccionarios de orden 1
- 5 Ejemplo: Relación de Longitud de la mandíbula con Edad gestacional
- 6 El paquete `mfp` de R
- 7 Conclusiones

# Polinomios fraccionarios

Un polinomio fraccionario de orden  $m$  se denota por  $PF_m$  y viene definido como:

$$\phi_m(x; \beta, p) = \beta_0 + \sum_{j=1}^m \beta_j H_j(x),$$

con  $H_j(x)$ :

$$\begin{cases} H_1(x) = x^{(p_1)} & \text{para } j = 1 \\ H_j(x) = \begin{cases} x^{(p_j)} & \text{si } p_j \neq p_{j-1} \\ H_{j-1}(x) \ln x & \text{si } p_j = p_{j-1} \end{cases} & \text{para } j = 2, \dots, m \end{cases}$$

y

$$x^{(p)} = \begin{cases} x^p & p \neq 0 \\ \ln x & p = 0 \end{cases}$$

Royston y Altman (1994): tomar la potencia  $p$  en el conjunto

$$\mathcal{P} = \{-2, -1, -0.5, 0, 0.5, 1, 2, 3\}$$

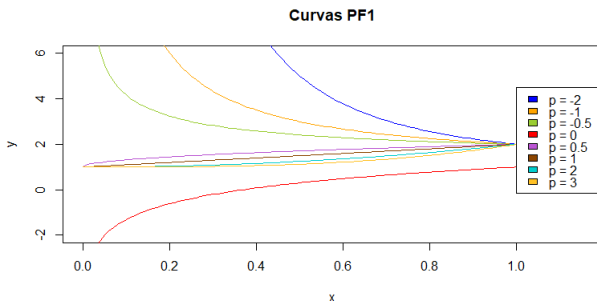
Transformación cuando  $x < 0$ :

$$\phi_m(x; \beta, p) = \beta_0 + \sum_{j=1}^m \beta_j H_j(x - c)$$

# Características del polinomio fraccionario de orden 1

$$PF_1(p) = \beta_0 + \beta_1 x^{(p)} = \begin{cases} \beta_0 + \beta_1 x^p & p \in \mathcal{P}, \quad p \neq 0 \\ \beta_0 + \beta_1 \ln x & p = 0 \end{cases}$$

Representación para  $\beta_0 = \beta_1 = 1$ :

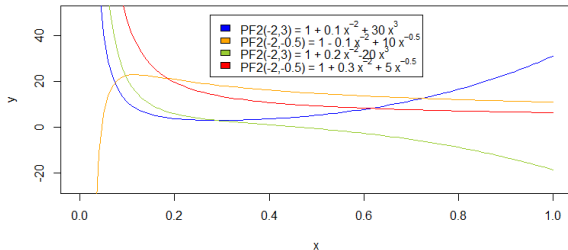


## Características del polinomio fraccionario de orden 2

$$PF_2(p_1, p_2) = \begin{cases} \beta_0 + \beta_1 x^{(p_1)} + \beta_2 x^{(p_2)} & p_1, p_2 \in \mathcal{P}, \quad p_1 < p_2 \\ \beta_0 + \beta_1 x^{(p)} + \beta_2 x^{(p)} \ln x & p_1, p_2 \in \mathcal{P}, \quad p_1 = p_2 = p \end{cases}$$

Comportamiento gráfico para varios tipos de curvas:

Curvas PF2



# Índice

- 1 Polinomios fraccionarios
- 2 Modelos de regresión con polinomios fraccionarios de orden 1
- 3 Elección del mejor modelo fraccionario de orden 1
- 4 Webapp en Shiny para modelos fraccionarios de orden 1
- 5 Ejemplo: Relación de Longitud de la mandíbula con Edad gestacional
- 6 El paquete `mfp` de R
- 7 Conclusiones



# Modelos de regresión con $PF_1$

Modelo de regresión con polinomios fraccionarios de orden 1:

$$Y = \beta_0 + \beta_1 X^{(p)} + \epsilon, \quad X^{(p)} = \begin{cases} X^p & p \neq 0 \\ \ln X & p = 0 \end{cases},$$

con  $p \in \mathcal{P} = \{-2, -1, -0.5, 0, 0.5, 1, 2, 3\}$ .

Para una muestra de tamaño  $n$ :

$$Y_i = \beta_0 + \beta_1 X_i^{(p)} + \epsilon_i, \quad i = 1, \dots, n.$$

# Hipótesis básicas sobre los errores aleatorios $\epsilon_i$

$$Y_i = \beta_0 + \beta_1 X_i^{(p)} + \epsilon_i, \quad i = 1, \dots, n.$$

- $E(\epsilon_i) = 0, \quad i = 1, \dots, n.$
- $\text{Var}(\epsilon_i) = E(\epsilon_i^2) = \sigma^2 = \text{cte}, \quad i = 1, \dots, n.$
- $\text{Cov}(\epsilon_i, \epsilon_j) = E(\epsilon_i \epsilon_j) = 0, \quad \text{para todo } i \neq j.$
- Hipótesis adicional:  $\epsilon_i \sim \mathcal{N}(0, \sigma^2), \quad i = 1, \dots, n.$

# Residuos del modelo

- Muestra de tamaño  $n$ :  $(X_i, Y_i)$ ,  $i = 1, \dots, n$ .
- Valores observados:  $Y_i$ ,  $i = 1, \dots, n$ .
- Modelo estimado:  $\hat{Y} = \hat{\beta}_0 + \hat{\beta}_1 X^{(p)}$ .
- Valor estimado para  $X_i$ :  $\hat{Y}_i = \hat{\beta}_0 + \hat{\beta}_1 X_i^{(p)}$ .
- Residuos:  $e_i = Y_i - \hat{Y}_i$ ,  $i = 1, \dots, n$ .

A partir de ahora,

$$X^{(p)} = Z$$

# Estimación de los parámetros del modelo

- Estimación de los parámetros  $\beta_0$  y  $\beta_1$ :

$$\begin{cases} \hat{\beta}_0 = \bar{Y} - \frac{s_{yz}}{s_{zz}^2} \bar{Z} \\ \hat{\beta}_1 = \frac{s_{yz}}{s_{zz}^2} \end{cases} \quad \text{con} \quad \begin{cases} s_{yz} = \frac{\sum_{i=1}^n Y_i Z_i}{n} - \bar{Y} \bar{Z} \\ s_{zz}^2 = \frac{\sum_{i=1}^n Z_i^2}{n} - \bar{Z}^2 \end{cases}$$

- Estimador insesgado para  $\sigma^2$ :

$$\hat{\sigma}^2 = s_R^2 = \frac{\sum_{i=1}^n e_i^2}{n-2}$$

# Intervalos de confianza $100(1 - \alpha) \%$

- Para  $\beta_0$ :

$$\left[ \hat{\beta}_0 - t_{n-2, 1-\alpha/2} \sqrt{\frac{S_R^2}{n} \left( 1 + \frac{\bar{Z}^2}{S_{zz}^2} \right)}, \hat{\beta}_0 + t_{n-2, 1-\alpha/2} \sqrt{\frac{S_R^2}{n} \left( 1 + \frac{\bar{Z}^2}{S_{zz}^2} \right)} \right]$$

- Para  $\beta_1$ :

$$\left[ \hat{\beta}_1 - t_{n-2, 1-\alpha/2} \sqrt{\frac{S_R^2}{n S_{zz}^2}}, \hat{\beta}_1 + t_{n-2, 1-\alpha/2} \sqrt{\frac{S_R^2}{n S_{zz}^2}} \right]$$

- Para  $\sigma^2$ :

$$\left[ \frac{(n-2)S_R^2}{\chi_{n-2, 1-\alpha/2}^2}, \frac{(n-2)S_R^2}{\chi_{n-2, \alpha/2}^2} \right]$$

## Contrastes de hipótesis

- Para  $\beta_0$  y  $\beta_1$ :

Parámetro	$\beta_0$	$\beta_1$
Contraste	$\begin{cases} H_0 : \beta_0 = \beta_{00} \\ H_1 : \beta_0 \neq \beta_{00} \end{cases}$	$\begin{cases} H_0 : \beta_1 = \beta_{10} \\ H_1 : \beta_1 \neq \beta_{10} \end{cases}$
Estadístico	$T = \frac{\hat{\beta}_0 - \beta_{00}}{\sqrt{\frac{S_R^2}{n} \left(1 + \frac{z^2}{S_{zz}^2}\right)}} \sim t_{n-2}$	$T = \frac{\hat{\beta}_1 - \beta_{10}}{\sqrt{\frac{S_R^2}{n S_{zz}^2}}} \sim t_{n-2}$
Región de rechazo	$ T  > t_{n-2, 1-\alpha/2}$	$ T  > t_{n-2, 1-\alpha/2}$

- Contraste  $H_0 : \beta_1 = 0$ . Tabla ANOVA:

Fuente de variación	SC	gl	MC	Estadístico
Regresión	SCR	1	MCR	F
Error	SCE	$n - 2$	MCE	
Total	SCT	$n - 1$		

Rechazar  $H_0$  si  $F > \mathcal{F}_{1, n-2, 1-\alpha}$ .

## Intervalos de predicción

- Para la respuesta media en  $X = X_0$  ( $Z_0 = X_0^{(p)}$ ):

$$\left[ \hat{Y}_0 - t_{n-2, 1-\alpha/2} \sqrt{S_R^2 \left( \frac{1}{n} + \frac{(Z_0 - \bar{Z})^2}{nS_{zz}^2} \right)}, \hat{Y}_0 + t_{n-2, 1-\alpha/2} \sqrt{S_R^2 \left( \frac{1}{n} + \frac{(Z_0 - \bar{Z})^2}{nS_{zz}^2} \right)} \right]$$

- Para la predicción en  $X = X_0$  ( $Z_0 = X_0^{(p)}$ ):

$$\left[ \hat{Y}_0 - t_{n-2, 1-\alpha/2} \sqrt{S_R^2 \left( 1 + \frac{1}{n} + \frac{(Z_0 - \bar{Z})^2}{nS_{zz}^2} \right)}, \hat{Y}_0 + t_{n-2, 1-\alpha/2} \sqrt{S_R^2 \left( 1 + \frac{1}{n} + \frac{(Z_0 - \bar{Z})^2}{nS_{zz}^2} \right)} \right]$$

- Bandas de confianza y de predicción: unir los extremos de los intervalos anteriores calculados para cada valor de  $X$ .

# Coefficiente de determinación $R^2$

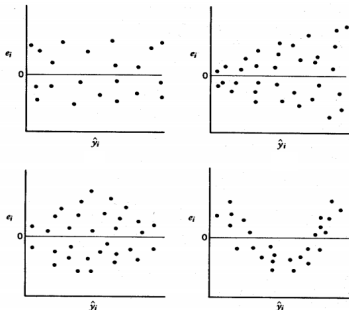
$$R^2 = \frac{SCR}{SCT} = 1 - \frac{SCE}{SCT}$$

- $0 \leq R^2 \leq 1$ .
- Cuanto mayor sea  $R^2$  mejor será el modelo estimado.

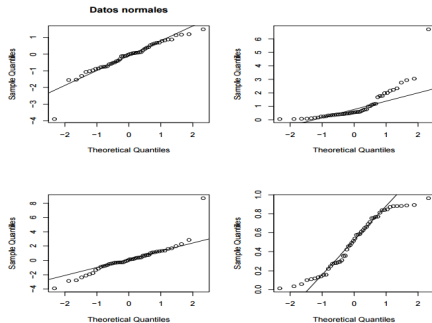


# Comprobación de las hipótesis del modelo

## Homocedasticidad y linealidad



## Gráfico qq-plot



# Índice

- 1 Polinomios fraccionarios
- 2 Modelos de regresión con polinomios fraccionarios de orden 1
- 3 Elección del mejor modelo fraccionario de orden 1
- 4 Webapp en Shiny para modelos fraccionarios de orden 1
- 5 Ejemplo: Relación de Longitud de la mandíbula con Edad gestacional
- 6 El paquete `mfp` de R
- 7 Conclusiones

# Elección del mejor modelo PF<sub>1</sub>

Medidas para comparar los modelos:

Medida	Expresión	Criterio
SCE	SCE	↘
MCE	$\frac{SCE}{n-2}$	↘
$R^2$	$1 - \frac{SCE}{SCT}$	↗
$\bar{R}^2$	$1 - (1 - R^2) \frac{n-1}{n-2}$	↗
AIC	$n \ln \left( \frac{SCE}{n} \right) + n \ln(2\pi) + n + 6$	↘

# Índice

- 1 Polinomios fraccionarios
- 2 Modelos de regresión con polinomios fraccionarios de orden 1
- 3 Elección del mejor modelo fraccionario de orden 1
- 4 Webapp en Shiny para modelos fraccionarios de orden 1**
- 5 Ejemplo: Relación de Longitud de la mandíbula con Edad gestacional
- 6 El paquete `mfp` de R
- 7 Conclusiones

# La aplicación desarrollada

- Enlace de la aplicación:

`https://antoniotorres.shinyapps.io/shiny/`

# Índice

- 1 Polinomios fraccionarios
- 2 Modelos de regresión con polinomios fraccionarios de orden 1
- 3 Elección del mejor modelo fraccionario de orden 1
- 4 Webapp en Shiny para modelos fraccionarios de orden 1
- 5 Ejemplo: Relación de Longitud de la mandíbula con Edad gestacional
- 6 El paquete `mfp` de R
- 7 Conclusiones

Relación entre edad gestacional ( $X$ , semanas) y longitud de la mandíbula ( $Y$ , mm)



## Introducción de los datos (Chitty et al. 1994):

Regresion con polinomios fraccionarios de orden 1

Valor de p:

Datos para el analisis:

☐ Iniciales

☒ Fichero

Elige un fichero csv:

☒ Nombres de variables en primera fila

Separador

☐ Coma

☒ Punto y coma

☐ Tabulador

Separador de decimales:

☐ Punto

☒ Coma

Selecciona la variable x:

Selecciona la variable y:

Gráfico   **Modelo de Regresion**   Predicción   Residuos   Mejor modelo   **Datos**

Show  entries

Semanas	Longitud
12.3	8
12.4	9
12.7	11
12.7	11
12.9	10
13.1	11
13.3	9
13.3	11
13.6	12
14	11
14	11
14	13
14.3	16
14.4	16
14.6	13
14.7	14
14.7	15
15	13



## Elección del mejor modelo:

Grafico

Modelo de Regresion

Prediccion

Residuos

Mejor modelo

Datos

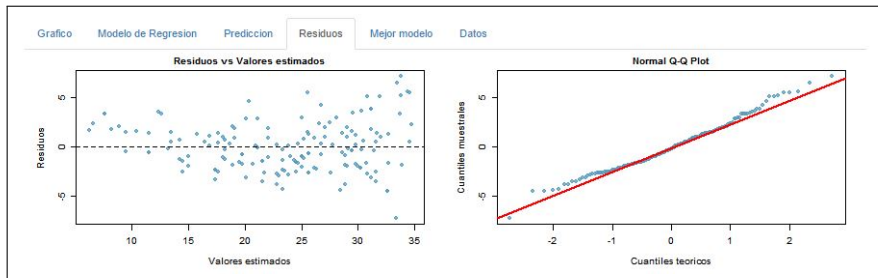
Medidas para comparar los modelos

p	S.C.E.	M.C.E.	R2	R2.Aj.	AIC	Comparar.AIC
-2.00	1489.58	9.55	0.83	0.83	808.88	-83.48
-1.00	1105.39	7.09	0.87	0.87	761.75	-36.35
-0.50	977.91	6.27	0.89	0.89	742.39	-16.98
0.00	897.65	5.75	0.90	0.90	728.86	-3.45
0.50	865.00	5.54	0.90	0.90	723.01	2.40
1.00	878.24	5.63	0.90	0.90	725.41	0.00
2.00	1027.21	6.58	0.88	0.88	750.16	-24.76
3.00	1304.30	8.36	0.85	0.85	787.89	-62.49

Mejor modelo

p	S.C.E.	M.C.E.	R2	R2.Aj.	AIC	Comparar.AIC
0.50	865.00	5.54	0.90	0.90	723.01	2.40

## Comprobación de las hipótesis básicas:



El modelo considerado no es el adecuado.

$$Y = \ln(\text{Longitud})$$

# Relación entre edad gestacional ( $X$ ) y $Y = \ln(\text{Longitud})$

## Introducción de los datos:

Regresión con polinomios fraccionarios de orden 1

Valor de  $p$ :

Datos para el análisis:

☐ Iniciales

☒ Fichero

Elige un fichero csv:

☒ Nombres de variables en primera fila

Separador:

☐ Coma

☒ Punto y coma

☐ Tabulador

Separador de decimales:

☐ Punto

☒ Coma

Selecciona la variable x:

Selecciona la variable y:

Gráfico   Modelo de Regresión   Predicción   Restuos   Mejor modelo   Datos

Show: 25 entries

Semanas	Longitud	Ln.Longitud.
12.3	8	2.0794415417
12.4	9	2.1972245773
12.7	11	2.3978952728
12.7	11	2.3978952728
12.9	10	2.302585093
13.1	11	2.3978952728
13.3	9	2.1972245773
13.3	11	2.3978952728
13.6	12	2.484906496
14	11	2.3978952728
14	11	2.3978952728
14	13	2.5649493575
14.3	16	2.7725887222
14.4	16	2.7725887222
14.6	13	2.5649493575
14.7	14	2.6396573296
14.7	15	2.7080502011
15	13	2.5649493575

## Elección del mejor modelo:

Grafico	Modelo de Regresion	Prediccion	Residuos	Mejor modelo	Datos
---------	---------------------	------------	----------	--------------	-------

Medidas para comparar los modelos

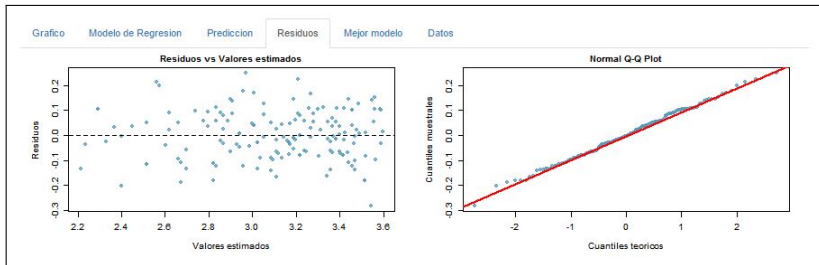
p	S.C.E.	M.C.E.	R2	R2.Aj.	AIC	Comparar.AIC
-2.00	1.62	0.01	0.91	0.91	-269.19	60.19
-1.00	1.45	0.01	0.92	0.92	-286.33	77.33
-0.50	1.53	0.01	0.92	0.92	-277.94	68.94
0.00	1.72	0.01	0.91	0.91	-259.92	50.92
0.50	2.00	0.01	0.89	0.89	-235.80	26.80
1.00	2.37	0.02	0.87	0.87	-209.00	0.00
2.00	3.31	0.02	0.83	0.82	-156.17	-52.83
3.00	4.42	0.03	0.77	0.77	-110.55	-98.45

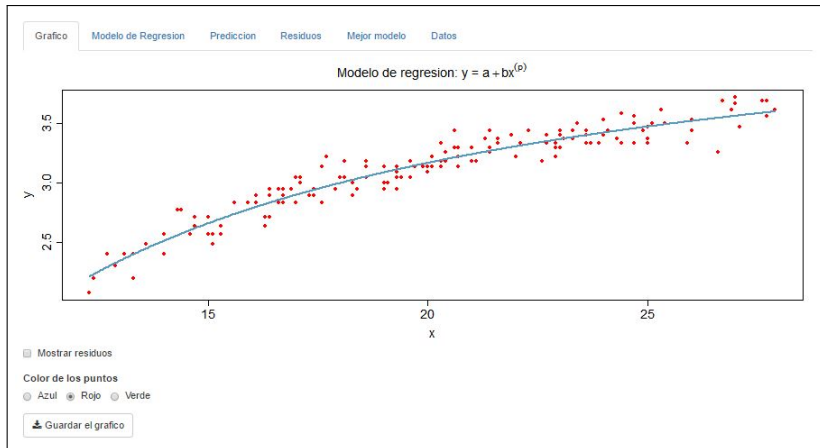
Mejor modelo

p	S.C.E.	M.C.E.	R2	R2.Aj.	AIC	Comparar.AIC
-1.00	1.45	0.01	0.92	0.92	-286.33	77.33

## Comprobación de las hipótesis básicas:



## Representación gráfica de las observaciones y el modelo estimado:



## Estimación de parámetros, I.C. y contrastes:

[Grafico](#)
[Modelo de Regresion](#)
[Prediccion](#)
[Residuos](#)
[Mejor modelo](#)
[Datos](#)

Potencia del modelo

Potencia	Valor
p	-1

Modelo

Parametro	Estimacion	Error.est	I.C.inf	I.C.sup	t	P.valor
a	4.69	0.04	4.61	-31.79	125.87	0.00
b	-30.41	0.70	4.76	-29.02	-43.33	0.00

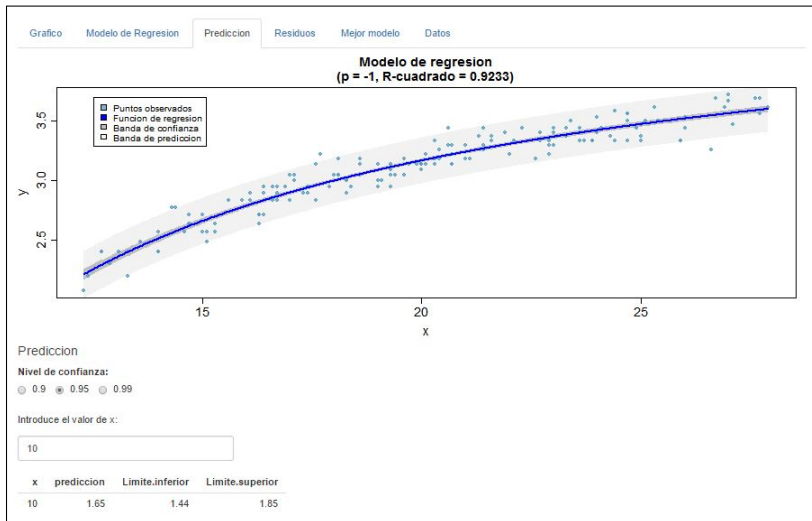
 Guardar resultados

Tabla ANOVA del modelo

Fuente.variabilidad	S.C.	g.l.	M.C.	F.exp	P.valor
Modelo	17.50	1	17.50	1877.47	0
Residual	1.45	156	0.01		

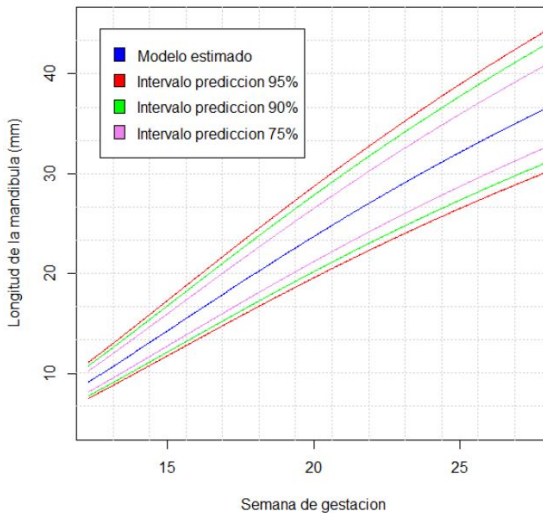
Modelo estimado:  $\hat{\ln}(\text{Longitud}) = 4.69 - \frac{30.41}{\text{Semanas}}$

## Bandas de confianza y predicción:





## Modelo con datos originales:



# Índice

- 1 Polinomios fraccionarios
- 2 Modelos de regresión con polinomios fraccionarios de orden 1
- 3 Elección del mejor modelo fraccionario de orden 1
- 4 Webapp en Shiny para modelos fraccionarios de orden 1
- 5 Ejemplo: Relación de Longitud de la mandíbula con Edad gestacional
- 6 El paquete `mfp` de R
- 7 Conclusiones

# El paquete `mfp` (Sauerbrei et al. 2006)

Contraste:

$$\begin{cases} H_0 : \text{Modelo restringido} \\ H_1 : \text{Modelo completo} \end{cases}$$

mediante test de razón de verosimilitud:

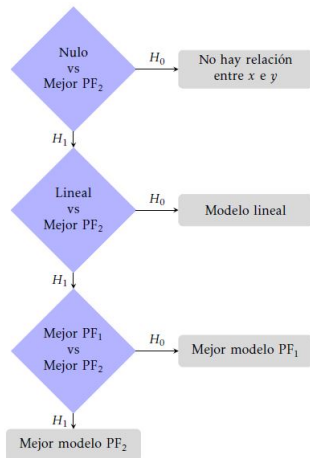
$$RV = -2 \ln \frac{\hat{L}_0}{\hat{L}_1} \sim \chi_r^2$$

*Ejemplo:*

$$\begin{cases} H_0 : \text{Modelo lineal } (p = 1) \\ H_1 : \text{Modelo no lineal } (p \neq 1) \end{cases} \Leftrightarrow \begin{cases} H_0 : E(Y) = \beta_0 + \beta_1 X \\ H_1 : E(Y) = \beta_0 + \beta_1 X^{(p)}, p \neq 1 \end{cases}$$

$$\Rightarrow RV \sim \chi_{3-2}^2 = \chi_1^2$$

## Esquema del proceso iterativo:



- Relación entre  $X$  e  $Y$ :

$$\begin{cases} H_0 : \text{Modelo nulo} \\ H_1 : \text{Mejor PF}_2 \end{cases}$$

- Linealidad:

$$\begin{cases} H_0 : \text{Modelo lineal} \\ H_1 : \text{Mejor PF}_2 \end{cases}$$

- Simplificación:

$$\begin{cases} H_0 : \text{Mejor PF}_1 \\ H_1 : \text{Mejor PF}_2 \end{cases}$$

# Aplicación del algoritmo `mfp` al ejemplo

```

9 Deviance table:
10           Resid. Dev
11 Null model      18.95706
12 Linear model     2.372511
13 Final model      1.454316
14
15 Fractional polynomials:
16   df.initial select alpha df.final power1 power2
17 x           4         1  0.05         2      -1      .
18
19
20 Transformations of covariates:
21           formula
22 x I((x/10)^-1)
23
24 Rescaled coefficients:
25 Intercept          x.1
26 4.686             -30.407

```

# Índice

- 1 Polinomios fraccionarios
- 2 Modelos de regresión con polinomios fraccionarios de orden 1
- 3 Elección del mejor modelo fraccionario de orden 1
- 4 Webapp en Shiny para modelos fraccionarios de orden 1
- 5 Ejemplo: Relación de Longitud de la mandíbula con Edad gestacional
- 6 El paquete `mfp` de R
- 7 Conclusiones

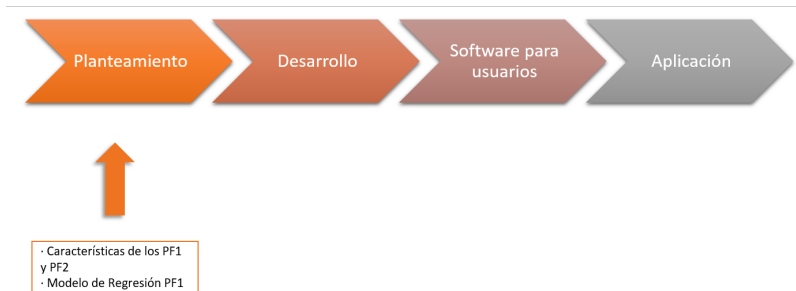


Planteamiento

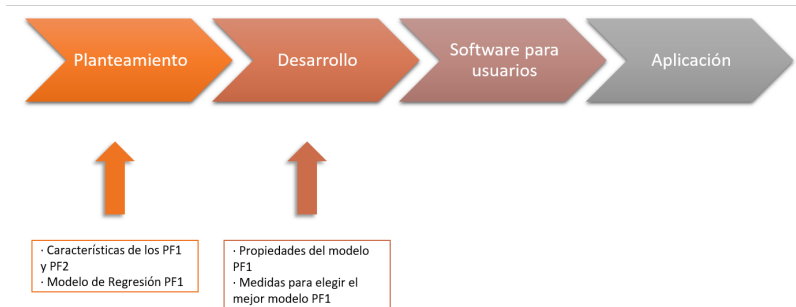
Desarrollo

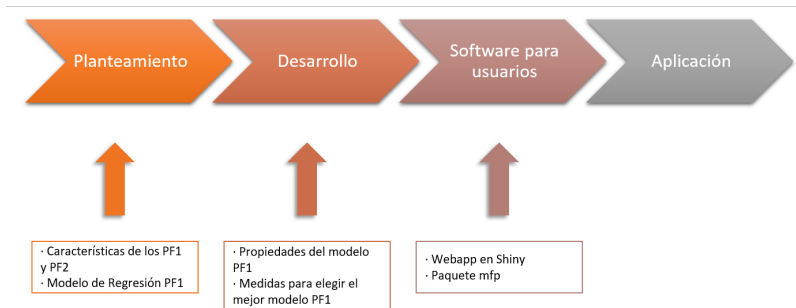
Software para  
usuarios

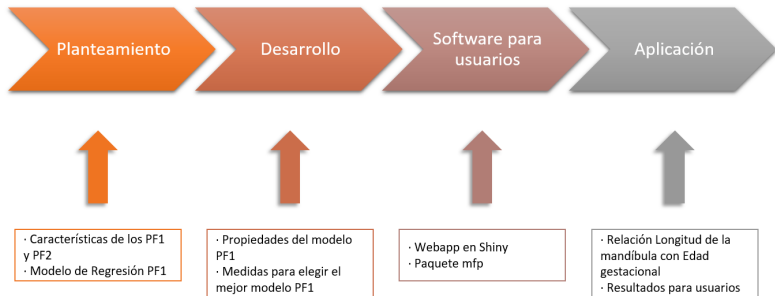
Aplicación











# Bibliografía I



L.C. Acosta

**Ajuste de polinomios fraccionarios a curvas de crecimiento**

Disponible en: *Enlace al texto completo*. [Consulta 13 nov. 2017]



J. Aparicio, M.A. Martínez, J. Morales

**Modelos lineales aplicados en R**

Disponible en: *Enlace al texto completo*. [Consulta 13 nov. 2017]



J.E. Callejas

**Métodos de aproximación polinómica en el diseño experimental**

Disponible en: *Enlace al texto completo*. [Consulta 13 nov. 2017]



L.S. Chitty, D.G. Altman, A. Henderson, S. Campbell

**Charts of fetal size: 3, Abdominal measurements**

Br. J. Obstet. Gynaecol., 101 (1994), 125–131



D. C. Montgomery, E. A. Peck, G. G. Vining

**Introduction to linear regression analysis**

Wiley, 1992

## Bibliografía II



P. Royston, D.G. Altman

**Regression using fractional polynomials of continuous covariates**

J. Royal Stat. Soc., C 43 (1994), 429–467



W. Sauerbrei, C. Meier-Hirmer, A. Benner, P. Royston

**Multivariable regression model building by using fractional polynomials.**

Comput. Stat. Data An., 50 (2006), 3464–3485



**Shiny: A web application framework for R**

Disponible en: *Enlace web*. [Consulta 13 nov. 2017]



J. Zamora

**Una metodología para manejar variables continuas en los modelos de pronóstico: Polinomios fraccionales**

Disponible en: *Enlace al texto completo*. [Consulta 13 nov. 2017]

# ¡MUCHAS GRACIAS!